

神戸大学工学部
明石工業高等専門学校

正員 杉本修一
西村益夫

1. まえがき

澳港など小規模の港湾においてよく用いられる簡単な防波施設は施設が簡単であるために変形することばまぬがたし。そのために防波効率はやや低下する。

このような問題に対する基礎的研究の一つとして吾々は昨年「弾性壁の波流透過について」(第13回海岸工学講演会講演集, 1966・XII)なる題目のもとに計算したものを発表した。その考え方は「底面に完全に固定された弾性壁が波のためにたわむならば、入射波のエネルギーは壁が運動するための運動エネルギーと、壁がたわむために壁の向側に生ずる透過波のためにエネルギーが流すこと、その残りのエネルギーを保有するような波が反射波として返ってくる」というのであった。このようにして吾々がた理論は実際に実験を行ってみると、実験が述べていたことが理論と実験が大変よく一致するとき、それほどよく一致しない場合のあることが判明してきた。

そこで吾々は種々検討してみた結果「壁が運動するための運動エネルギー」の代りに「壁がたわむために必要とする歪エネルギー」として同様の計算を行った。そしてより結果を得た。

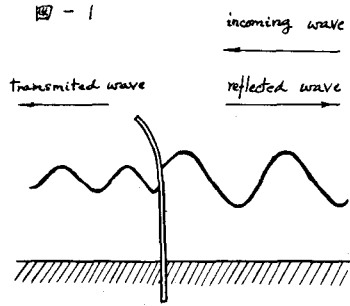
2. 理論的考察

図-1の如く波が弾性壁に向って入射してくるとき、壁は滑動しないので、一端は完全に固定で他端は自由の片持梁として、ただ弾性的にたわむものとするならば、そして右図時のような異なり時ではなく通常の状態を考えれば、壁は入射波と同じ周期で運動するのである。実際に実験水路において実験してみると入射波と弾性壁の周期は殆ど一致して2時間のはずみは認められなかった。それゆえ壁の向側において波は恐らく壁と同じ周期の波となるであろう。したがって反射波、透過波および壁の周期は入射波のそれと等しくなるであろう。一方浅海波においては $L/h = (gT^2/2\pi h) \tanh(2\pi h/L)$ が成立する。故に h と T が等しくれば入射波、反射波および透過波の波長は等しくなる。したがって入射波、反射波および透過波においては波高だけが違ってくることになる。いまそれらの半波高をそれぞれ a , b および c とすれば波形を表す式はそれぞれ

$$\eta_1 = a \sin(kx + \sigma t), \quad \eta_2 = b \sin(kx - \sigma t), \quad \eta_3 = c \sin(kx + \sigma t). \quad (1), (2), (3)$$

ここで $k = 2\pi/L$, $\sigma = 2\pi/T$ 、壁の前方における波列は $\eta_1 + \eta_2 = 2a \sin kx \cos \sigma t - (a-b) \sin(kx - \sigma t)$ である。これに対する速度ポテンシアル ϕ_{AB} および透過波 η_3 に対する速度ポテンシアル ϕ_3 はそれぞれ

$$\phi_{AB} = -\frac{g(a-b)}{\sigma} \frac{ch(k(h+y))}{chkh} \cos(kx - \sigma t) + \frac{2ga}{\sigma} \frac{ch(k(h+y))}{chkh} \cos kx \cos \sigma t. \quad (4)$$



$$\phi_c = g \frac{c}{\delta} \frac{ch k (h+y)}{ch kh} \cos(kx - \delta t). \quad (5)$$

したがって壁に作用する波圧 p は前後両面に作用する波圧の差が作用することになる。すなわち

$$p = (a+b-c) \rho_w g \frac{ch k (h+y)}{ch kh} \beta \sin \delta t. \quad \beta: \text{弾性壁の幅}. \quad (6)$$

入射波、反射波および透過波のエネルギーをそれぞれ $W_A, W_B,$ および W_C とすると

$$W_A = \frac{1}{2} \cdot \rho_w g a^2 L \beta, \quad W_B = \frac{1}{2} \cdot \rho_w g b^2 L \beta, \quad W_C = \frac{1}{2} \cdot \rho_w g c^2 L \beta.$$

ところが入射波と反射波のエネルギーの差は透過波のエネルギーと壁の歪エネルギーとの和に等しい。

もし透過波は壁の振動によつて生ずるのであるから W_C は W_D より大きくなることはない。しかし「簡単なため等しい」と仮定する。すなわち

$$W_A - W_B = W_C + W_D, \quad W_C = W_D \quad (7), (8)$$

壁に作用する波圧の最大値 p_{\max} は式(6)においいて $\delta t = \pi/2$ のときに生じ

$$\begin{aligned} p_{\max} &= (a+b-c) \left(\frac{\rho_w g \beta}{ch kh} \right) = (a+b-c) K_1 \left\{ 1 + \frac{(kh)^2}{2} (1+\xi)^2 + \frac{(kh)^4}{2 \times 3 \times 4} (1+\xi)^4 + \dots \right\} \\ &\approx A \left\{ 1 + \frac{(kh)^2}{2} (1+\xi)^2 \right\}. \end{aligned} \quad (9)$$

ここで式(4)より、この波圧による壁の歪エネルギー W_D は

$$\begin{aligned} W_D &= \frac{1}{2} \int \frac{M^2}{EI} dy \times 2 = \frac{A^2 h^5}{EI} \left\{ \frac{1}{20} + \frac{71}{1260} a_1 + \frac{13}{810} a_1^2 \right\} \\ &= \frac{A^2 h^5}{EI} \cdot F(a_1). \quad M: \text{波圧による曲げモーメント} \end{aligned} \quad (10)$$

ここで式(7)と式(8)より

$$\frac{1}{2} \cdot (\rho_w g a^2 L \beta - \rho_w g b^2 L \beta) = \frac{1}{2} \cdot \rho_w g c^2 L \beta \times 2, \quad 1 - \left(\frac{b}{a}\right)^2 = 2 \left(\frac{c}{a}\right)^2 \quad (11)$$

$$\therefore \frac{c}{a} = \left(1 + \frac{b}{a}\right) \frac{J}{1+J} = \left(1 + \frac{b}{a}\right) m.$$

$$\frac{b}{a} = \frac{1 - 2m^2}{1 + 2m^2}, \quad J = \sqrt{\frac{h^5}{L} \frac{2F(a) \rho_w g \beta}{EI (ch kh)^2}}, \quad m = \frac{J}{1+J} \quad (12), (13)$$

3. 実験結果に考察

実験水路は一面がガラス張り、他面および底面は鉄鋼板張り、幅1m、長さ25mを使用した。この水路を用いて水深50, 55, 60 および 70 cm の四種類について、一端よりフラッター式起波機にて周期1.5, 2.0, 2.5, 3.0 sec の四種類の波を送り、他端は波が反射しないようにアルミニウム箔の切りくぎを金網で囲んで波の反射を防いだ。弾性壁としては鉄鋼板を用い、これを水路の長さの方向中央より1m波の進行方向等りにL型鋼を用いて水路底面に固定した。弾性壁に用いた鉄鋼板の寸法は幅は0.95m、高さ0.90m、厚さ1.6, 2.0, 3.2, 4.0, 5.0 mmの五種類を用いた。

実験方法は起波機にて起した波が弾性壁に到達するまでに波高を測定し、これを入射波の波高とした。透過波高は定寸波箱に行つてから測定した。反射波高は反射波による合成波が複雑であるので測定を中止した。このようにして得られた実験結果が図1~5の先印で、理論値とよく一致している。

图-2

实验值 h
 ○ 70^{cm}
 △ 60
 × 55
 ▽ 50

$T = 1.5 \text{ sec}$

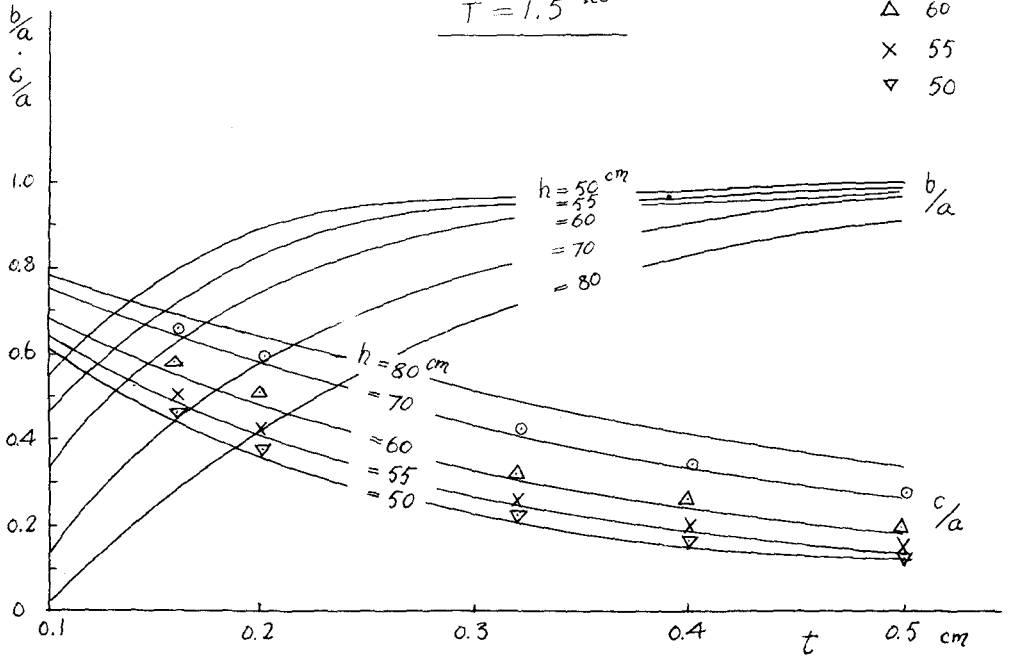


图-3

$T = 2.0 \text{ cm}$

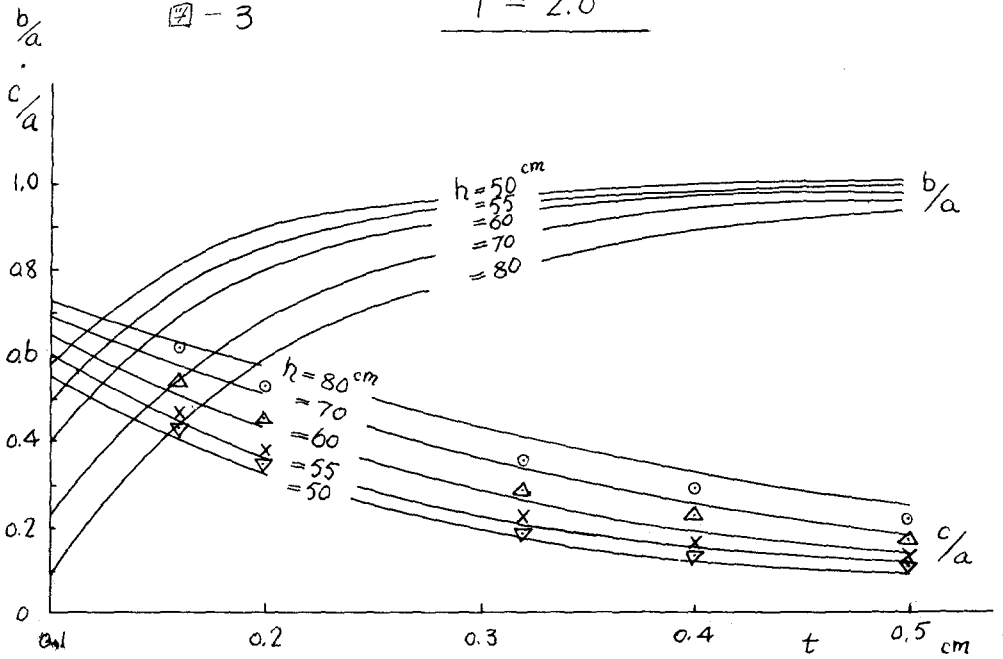


图-4

$T = 2.5 \text{ sec}$

实验值 h
 \circ 70 cm
 \triangle 60
 \times 55
 ∇ 50

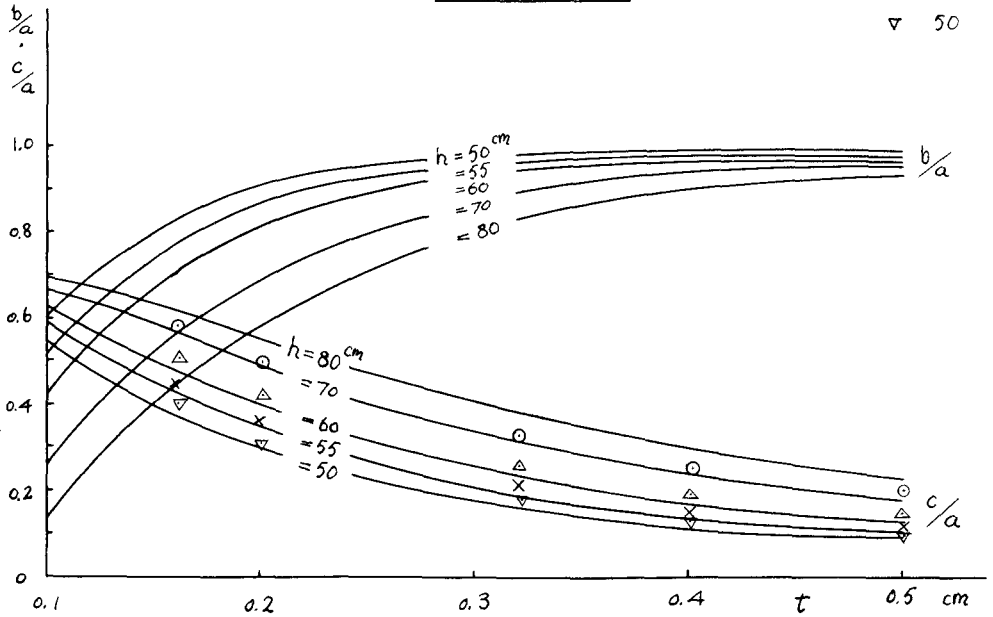


图-5

$T = 3.0 \text{ sec}$

